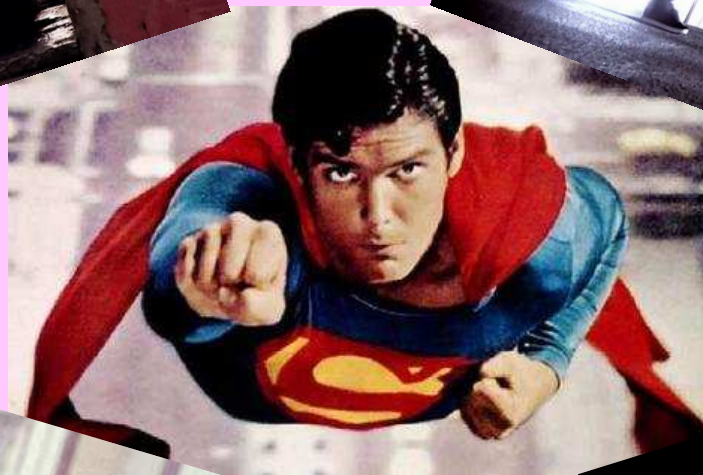


2009



2012



**Гравитационное взаимодействие
в многомерных моделях**

М.В. Эйнгорн

Научный руководитель – А.И. Жук

**Модели Калуцы-Клейна
с тороидальной компактификацией
дополнительных пространственных измерений**

~~модели
мира на
бране~~

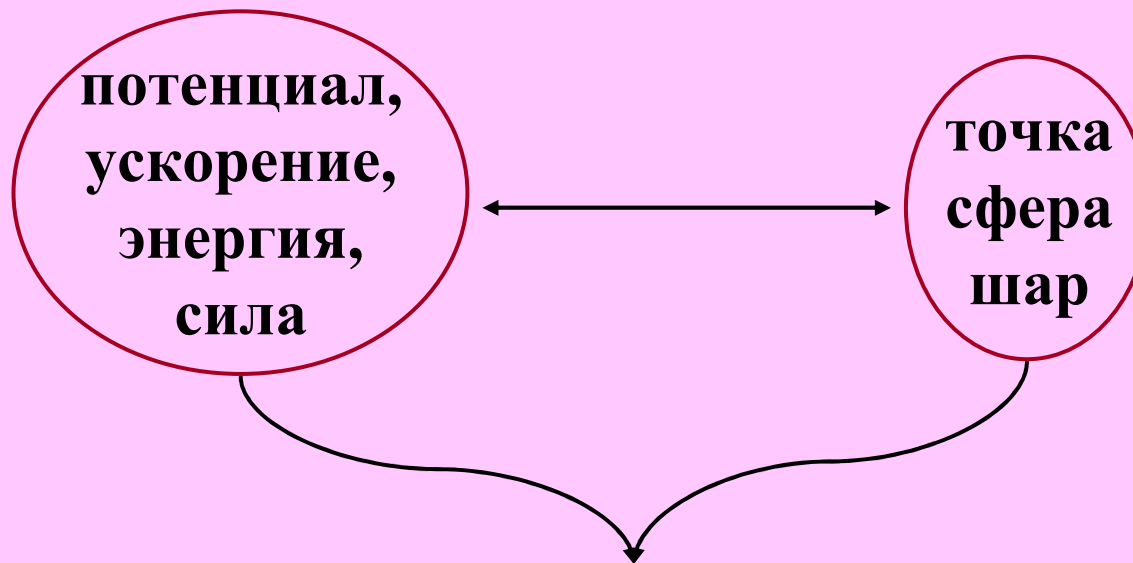
~~дополнительные
временные
измерения~~

~~нетороидальная
(например, сферическая)
компактификация~~

Гравитационное взаимодействие

~~Электромагнетизм и др.~~

I. Нерелятивистский предел

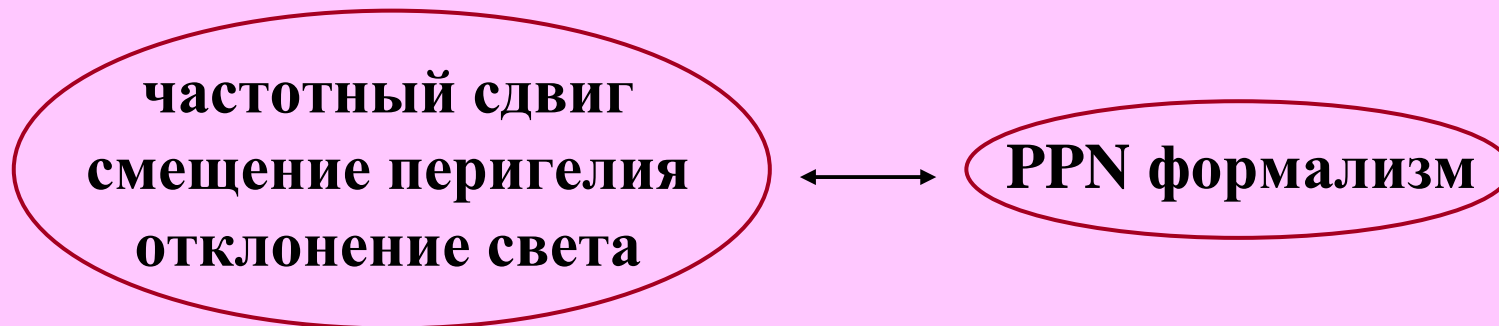


**эффективная гравитационная постоянная
проблема иерархии**

$$M_{EW} \sim 10^3 \text{ GeV} \quad \downarrow \quad M_{Pl(4)} \sim 10^{19} \text{ GeV}$$

**экспериментальные ограничения на периоды торков
(размеры дополнительных измерений)**

II. Приближение слабого гравитационного поля



пылеподобные и непылеподобные
материальные источники

Солитоны

уравнения состояния во внешнем и внутреннем пространствах
латентные солитоны, черные струны / браны

экспериментальные ограничения на солитонные параметры

Многомерный нерелятивистский гравитационный потенциал покоящейся точечной частицы:

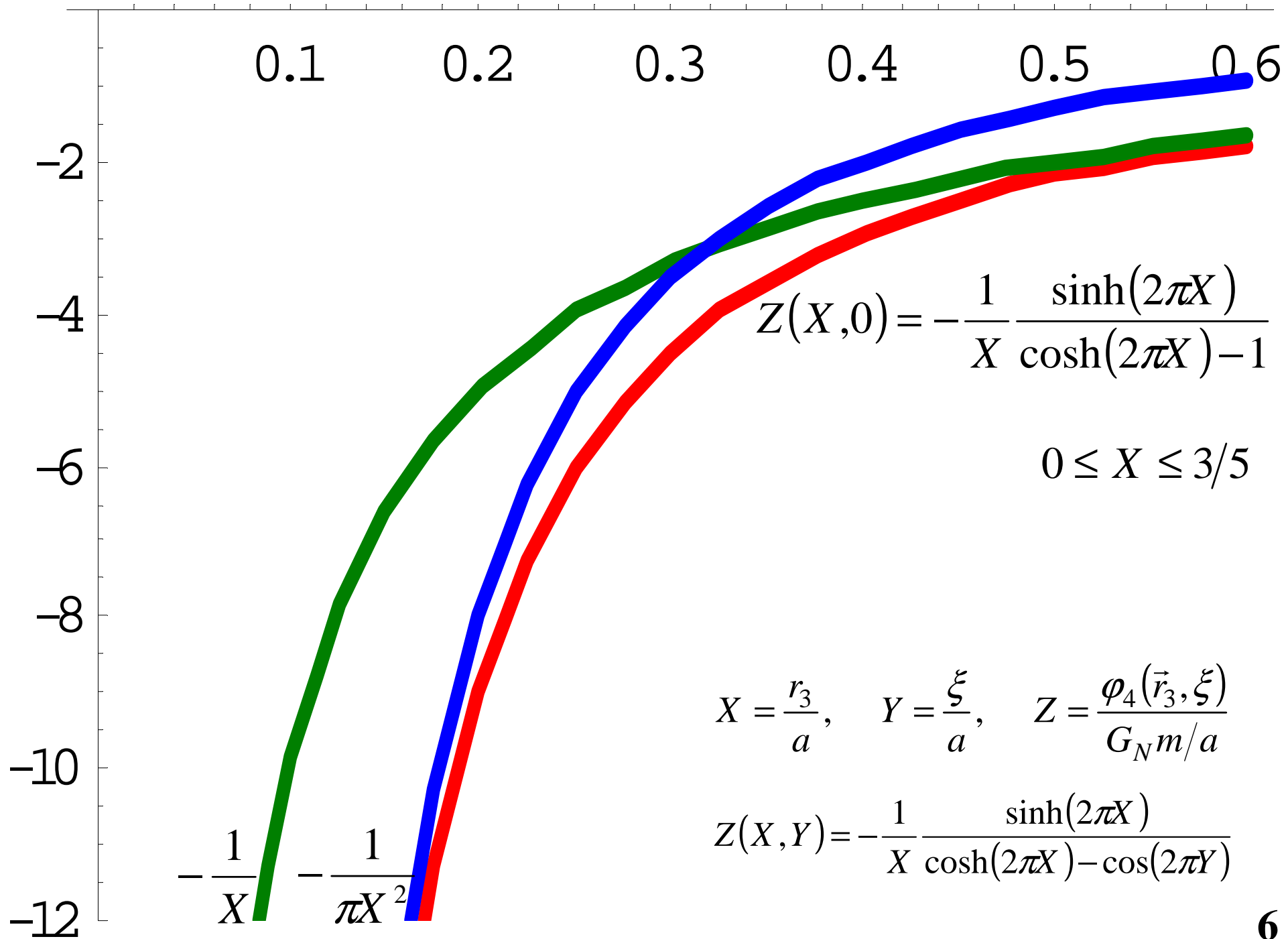
$$\varphi_D(\vec{r}_3, \xi_1, \dots, \xi_d) = -\frac{G_N m}{r_3} \sum_{k_1=-\infty}^{+\infty} \dots \sum_{k_d=-\infty}^{+\infty} \exp \left[-2\pi \left(\sum_{i=1}^d \left(\frac{k_i}{a_i} \right)^2 \right)^{1/2} r_3 \right]$$

$$\times \cos \left(\frac{2\pi k_1}{a_1} \xi_1 \right) \dots \cos \left(\frac{2\pi k_d}{a_d} \xi_d \right)$$

$$\varphi_4(\vec{r}_3, \xi) = -\frac{G_N m}{r_3} \frac{\sinh \left(\frac{2\pi}{a} r_3 \right)}{\cosh \left(\frac{2\pi}{a} r_3 \right) - \cos \left(\frac{2\pi}{a} \xi \right)}$$

Соотношение между 4-мерным и многомерным фундаментальными планковскими масштабами:

$$\frac{S_D}{S_3} \frac{G_{\bar{D}}}{\prod_{i=1}^d a_i} = G_N \quad \begin{cases} M_{Pl(4)} = G_N^{-1/2} \\ M_{Pl(\bar{D})} = G_{\bar{D}}^{-1/(2+d)} \end{cases} \quad \frac{S_D}{S_3} M_{Pl(4)}^2 = M_{Pl(\bar{D})}^{2+d} \prod_{i=1}^d a_i$$



Бесконечно тонкая и произвольная сферические оболочки

**потенциалы гравитационного поля
радиальные ускорения пробных тел
собственная гравитационная энергия**

**численная оценка относительных отклонений
от стандартных ньютоновских выражений**

- 1. Поля стандартной модели не локализованы на бране.
Из экспериментов по проверке закона Кулона:**

$$a_i \leq 10^{-17} \text{ cm}$$

- 2. Поля стандартной модели локализованы на бране.
Из экспериментов по проверке закона Ньютона:**

$$a_i \leq 10^{-2} \text{ cm}$$

Примеры логарифмических расходимостей:

1. сфера, 4-мерное пространство, потенциал

$$r_3 \gg a, \quad R \gg a, \quad |r_3 - R| \ll a$$

$$\varphi_4(r_3) \approx -\frac{G_N m}{R} \left[1 - \frac{a}{2\pi R} \ln \left(\frac{2\pi |r_3 - R|}{a} \right) \right] = -\frac{G_N m}{R} (1 + \delta)$$

$$2\pi R = 10 \text{ cm}$$

$$2\pi |r_3 - R| = a/10$$

$$\delta = \begin{cases} 2.3 \cdot 10^{-4}, & a = 10^{-3} \text{ cm} \\ 2.3 \cdot 10^{-18}, & a = 10^{-17} \text{ cm} \end{cases}$$

2. шар, 4-мерное пространство, ускорение

$$-\frac{d\varphi_4}{dr_3} \approx -\frac{G_N m}{R^2} \left[1 - \frac{3a}{2\pi R} \ln \left(\frac{2\pi (r_3 - R)}{a} \right) \right] = -\frac{G_N m}{R^2} (1 + \tilde{\delta})$$

$$\tilde{\delta} = 3\delta$$

Потенциал гравитационного поля покоящейся точечной частицы в юкавовском приближении

$$\varphi_D(r_3) \approx -\frac{G_N m}{r_3} \left[1 + \alpha \exp\left(-\frac{r_3}{\lambda}\right) \right]$$

$$\alpha = 2s \quad 1 \leq s \leq d \quad \lambda = \frac{a}{2\pi} \quad a = \max(a_i)$$

Потенциальная энергия гравитационного взаимодействия двух шаров в юкавовском приближении

$$U(r_3) \approx -\frac{G_N m m'}{r_3} \left\{ 1 + 18s \left(\frac{a}{2\pi R}\right)^3 \left(\frac{a}{2\pi R'}\right)^3 \exp\left(-\frac{2\pi}{a} r_3\right) \right. \\ \left. \times \left[\frac{2\pi}{a} R \cosh\left(\frac{2\pi}{a} R\right) - \sinh\left(\frac{2\pi}{a} R\right) \right] \cdot \left[\frac{2\pi}{a} R' \cosh\left(\frac{2\pi}{a} R'\right) - \sinh\left(\frac{2\pi}{a} R'\right) \right] \right\}$$

Абсолютная величина силы гравитационного взаимодействия двух шаров в юкавовском приближении

$$F(r_3) \approx \frac{G_N m m'}{r_3^2} \left\{ 1 + 18 s \left(\frac{a}{2\pi R} \right)^3 \left(\frac{a}{2\pi R'} \right)^3 \frac{2\pi r_3}{a} \exp\left(-\frac{2\pi}{a} r_3\right) \right. \\ \left. \times \left[\frac{2\pi}{a} R \cosh\left(\frac{2\pi}{a} R\right) - \sinh\left(\frac{2\pi}{a} R\right) \right] \cdot \left[\frac{2\pi}{a} R' \cosh\left(\frac{2\pi}{a} R'\right) - \sinh\left(\frac{2\pi}{a} R'\right) \right] \right\}$$

$$r_3 > R + R' \quad r_3 \gg a \quad R \gg a, \quad R' \gg a$$

$$F(r_3) \approx \frac{G_N m m'}{r_3^2} \left\{ 1 + \frac{9}{2} s \left(\frac{a}{2\pi R} \right)^2 \left(\frac{a}{2\pi R'} \right)^2 \frac{2\pi r_3}{a} \exp\left[-\frac{2\pi}{a} (r_3 - R - R')\right] \right\} \approx \frac{G_{N(eff)}(r_3) m m'}{r_3^2}$$

эффективная гравитационная постоянная

Размазанные дополнительные измерения

Топология: $M_D = \mathbb{R}^3 \times T^{d-p} \times T^p, \quad p \leq d$

Периоды торов: $a \quad b$

$$G_{N(eff)}(r_3) \approx G_N \left\{ 1 + \frac{9}{2} (d-p) \left(\frac{a}{2\pi R} \right)^2 \left(\frac{a}{2\pi R'} \right)^2 \frac{2\pi r_3}{a} \exp \left[-\frac{2\pi}{a} (r_3 - R - R') \right] \right\}$$

$$G_N \times 10^{11} m^{-3} \cdot kg \cdot s^2 = 6.674215 \pm 0.000092; \quad 6.674252 \pm 0.000124$$

Вашингтон

Цюрих

Москва

$$R = 0.087 \text{ cm}$$

$$R' = 0.206 \text{ cm}$$

$$r_3 = 0.3773 \text{ cm}$$

$$d = 1, \quad p = 0, \quad \alpha = 2, \quad \lambda_{\max} = \left(\frac{a}{2\pi} \right)_{\max} \approx 4.7 \times 10^{-3} \text{ cm}$$

$$d = 6, \quad p = 3, \quad \alpha = 6, \quad \lambda_{\max} = \left(\frac{a}{2\pi} \right)_{\max} \approx 3.4 \times 10^{-3} \text{ cm}$$

$$\underline{\delta_G \approx 8.91 \times 10^{-12}}$$

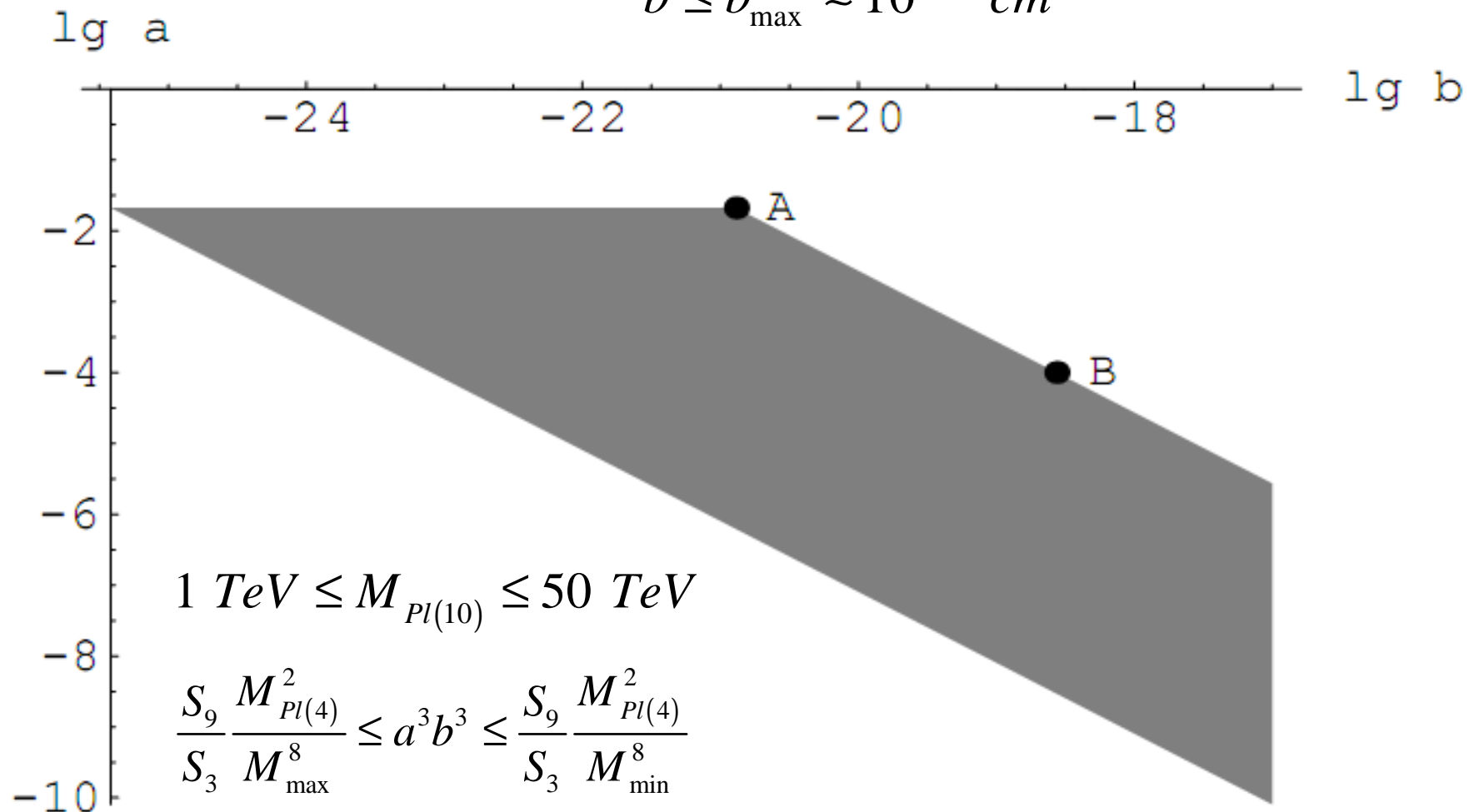
$$\underline{\delta_G \approx 1.06 \times 10^{-14}}$$

Решение проблемы иерархии

$$d = 6, \quad p = 3$$

$$a \leq a_{\max} \approx 2.1 \times 10^{-2} \text{ cm}$$

$$b \leq b_{\max} \approx 10^{-17} \text{ cm}$$



Публикации

- 1. Eingorn M., Zhuk A. Multidimensional gravity in the non-relativistic limit // Phys. Rev. D. - 2009. - V. 80. - 124037, 5 p.**
- 2. Eingorn M., Zhuk A. The shape of multidimensional gravity: non-relativistic limit // Proceedings of the 4-th Gamow International Conference on Astrophysics and Cosmology and the 9-th Gamow Summer School “Astronomy and Beyond: Astrophysics, Cosmology, Radio Astronomy, High Energy Physics and Astrobiology”, Odessa. - American Institute of Physics, Conference Proceedings, “Astrophysics and Cosmology after Gamow”. - 2009. - V. 1206. - P. 122-133.**
- 3. Eingorn M., Zhuk A. Non-relativistic limit of multidimensional gravity: exact solutions and applications // Class. Quant. Grav. - 2010. - V. 27. - 055002, 17 p.**

Приближение слабого гравитационного поля для системы движущихся точечных частиц

Уравнение Эйнштейна:
$$R_{ik} = \frac{2S_D \tilde{G}_{\bar{D}}}{c^4} \left(T_{ik} - \frac{1}{D-1} g_{ik} T \right)$$

Тензор энергии-импульса:

$$T^{ik} = \sum_{p=1}^N m_p \left[(-1)^D g \right]^{-1/2} \frac{dx^i}{dt} \frac{dx^k}{dt} \frac{cdt}{ds} \delta(\vec{r} - \vec{r}_p)$$

$$g_{00} \approx 1 + \frac{2}{c^2} \varphi(\vec{r}) + \frac{2}{c^4} \varphi^2(\vec{r}) + \frac{2}{c^4} \sum_{p=1}^N \varphi'_p \varphi'(\vec{r} - \vec{r}_p) + \frac{D}{D-2} \frac{1}{c^4} \sum_{p=1}^N v_p^2 \varphi'(\vec{r} - \vec{r}_p)$$

$$g_{0\alpha} \approx -\frac{2(D-1)}{D-2} \frac{1}{c^3} \sum_{p=1}^N v_{p\alpha} \varphi'(\vec{r} - \vec{r}_p) - \frac{1}{c^3} \frac{\partial^2 f}{\partial t \partial x^\alpha} \quad \Delta \varphi = S_D G_{\bar{D}} \rho$$

$$g_{\alpha\beta} \approx -\left(1 - \frac{1}{D-2} \frac{2}{c^2} \varphi(\vec{r}) \right) \delta_{\alpha\beta} \quad \Delta f = \varphi(\vec{r}) \quad \varphi(\vec{r}) = \sum_{p=1}^N \varphi'(\vec{r} - \vec{r}_p)$$

Гравитационное поле одной покоящейся частицы

$$g_{00} \approx 1 + \frac{2}{c^2} \varphi(\vec{r}) + \frac{2}{c^4} \varphi^2(\vec{r}), \quad g_{0\alpha} = 0, \quad g_{\alpha\beta} \approx - \left(1 - \frac{1}{D-2} \frac{2}{c^2} \varphi(\vec{r}) \right) \delta_{\alpha\beta}$$

$$\Delta\varphi = S_D G_D m \delta(\vec{r}) \longrightarrow \varphi \approx - \frac{G_N m}{r_3} = - \frac{c^2 r_g}{2r_3}$$

**Метрика в изотропных 3D
сферических координатах:**

$$r_g = \frac{2G_N m}{c^2}$$

$$r_3 = |\vec{r}_3|$$

$$ds^2 \approx \left(1 - \frac{r_g}{r_3} + \frac{r_g^2}{2r_3^2} \right) c^2 dt^2$$

$$- \left(1 + \frac{1}{D-2} \frac{r_g}{r_3} \right) \left(dr_3^2 + r_3^2 d\theta^2 + r_3^2 \sin^2 \theta d\psi^2 \right)$$

$$- \left(1 + \frac{1}{D-2} \frac{r_g}{r_3} \right) \left[(dx^4)^2 + (dx^5)^2 + \dots + (dx^D)^2 \right]$$



**Три релятивистских теста:
частотный сдвиг, смещение перигелия, отклонение света**

$$\omega_2 \approx \omega_1 \left(1 + \frac{\varphi_1 - \varphi_2}{c^2} \right)$$

$$\delta\psi = \frac{D\pi m'^2 c^2 r_g^2}{2(D-2)M^2}$$

$$\delta\psi = \frac{D-1}{D-2} \frac{r_g}{\rho}$$

General Relativity:

$$D = 3 \Rightarrow 42.94''$$

$$D = 3 \Rightarrow 1.75''$$

$$D = 4 \Rightarrow 28.63''$$

$$D = 4 \Rightarrow 1.31''$$

$$D = 9 \Rightarrow 18.40''$$

$$D = 9 \Rightarrow 1.00''$$

Солитоны – точные статические сферически симметричные вакуумные решения многомерного уравнения Эйнштейна.

$$R_{ik} = 0$$

$$ds^2 = A(r_3)c^2 dt^2 + B(r_3)(dr_3^2 + r_3^2 d\Omega_2^2) + \sum_{i=1}^N C_i(r_3) ds_i^2$$

$$ds_i^2 = \sum_{j=1}^{d_i} d\xi_{i(j)}^2$$

$$ds^2 = \left(\frac{ar_3 - 1}{ar_3 + 1} \right)^{2\theta} c^2 dt^2 - \left(1 - \frac{1}{a^2 r_3^2} \right)^2 \left(\frac{ar_3 + 1}{ar_3 - 1} \right)^{2\theta(1-\tau)} \left(dr_3^2 + r_3^2 d\Omega_2^2 \right) - \sum_{i=1}^N \left(\frac{ar_3 + 1}{ar_3 - 1} \right)^{2\theta\gamma_i} ds_i^2$$

Соотношения между солитонными параметрами:

$$\theta^2 \left[(1-\tau)^2 + \sigma + 1 \right] = 2, \quad \tau = \sum_{i=1}^N d_i \gamma_i, \quad \sigma = \sum_{i=1}^N d_i \gamma_i^2$$

Восстановление ньютоновского гравитационного потенциала:

$$\frac{4\theta}{a} = r_g = \frac{2G_N m}{c^2} \Rightarrow A(r_3) \approx 1 - \frac{r_g}{r_3} + \frac{r_g^2}{2r_3^2}$$

$$h_{00} = -\frac{r_g}{r_3}$$

$$B(r_3) \approx -1 - (1-\tau) \frac{r_g}{r_3}$$

$$h_{\alpha\alpha} = -(1-\tau) \frac{r_g}{r_3}, \quad \alpha = 1, 2, 3$$

$$C_i(r_3) \approx -1 - \gamma_i \frac{r_g}{r_3}$$

$$h_{\mu_i \mu_i} = -\gamma_i \frac{r_g}{r_3}$$

**метрические
коэффициенты**

**поправочные
слагаемые**

**Уравнения состояния материальных источников
во внешнем и внутреннем пространствах
в терминах компонент тензора энергии-импульса**

$$T_{\mu_i\mu_i} \approx \frac{\gamma_i - 1 + \tau}{2 - \tau} T_{00}$$

$$p_i = \frac{\gamma_i - 1 + \tau}{2 - \tau} \varepsilon$$

Экспериментальное ограничение:

$$\tau = -(2.1 \pm 2.3) \times 10^{-5}$$

Латентные солитоны

$$\tau = \sum_{i=1}^N d_i \gamma_i = 0$$

$$p_i = \frac{\gamma_i - 1}{2} \varepsilon$$

Черные струны / браны

$$\gamma_i = 0$$

$$p_i = -\frac{1}{2} \varepsilon$$

Публикации

- 4. Эйнгорн М.В., Жук А.И. Проблемные аспекты многомерия // Труды 10-й Гамовской астрономической конференции-школы “Астрономия на стыке наук - космомикрoфизика, космология и гравитация, астрофизика, радиоастрономия, астробиология”, Одесса. - 2010. - С. 22-27.**
- 5. Eingorn M., Zhuk A. Classical tests of multidimensional gravity: negative result // Class. Quant. Grav. - 2010. - V. 27. - 205014, 18 p.**
- 6. Eingorn M., Zhuk A. Kaluza-Klein models: can we construct a viable example? // Phys. Rev. D. - 2011. - V. 83. - 044005, 11 p.**
- 7. Eingorn M., Medeiros O.R., Crispino L.C.B., Zhuk A. Latent solitons, black strings, black branes, and equations of state in Kaluza-Klein models // Phys. Rev. D. - 2011. - V. 84. - 024031, 8 p.**

Основные выводы в отношении многомерных моделей Калуцы-Клейна с тороидальной компактификацией дополнительных пространственных измерений

- 1. В нерелятивистском пределе при достаточно малых периодах торов восстанавливается ньютоновский гравитационный потенциал и возможно решение проблемы иерархии.**
- 2. В приближении слабого гравитационного поля пылеподобный источник противоречит данным наблюдений (смещение перигелия, отклонение света).**
- 3. Латентные солитоны (непылеподобные источники) удовлетворяют экспериментам с той же точностью, что и общая теория относительности, но имеют неясную физическую интерпретацию.**

A dramatic, low-key photograph of Batman's silhouette against a turbulent, golden-brown sky. The character is shown in profile, looking down, with his cape flowing behind him. The lighting is moody and atmospheric, highlighting the texture of the clouds.

Спасибо за внимание!

The iconic Batman logo, a stylized bat silhouette, is centered in the lower half of the image. It has a metallic, textured appearance.

BATMAN ENDS

this spring